



انجمن مهندسان  
مکانیک ایران



ISME2012-1774

## کاربرد روش CESE در انتقال حرارت مدل غیر فوریه ای تاخیر فاز دوگانه در فیلم نازک فلزی

محمد باقر آیانی<sup>۱</sup>، امیر قاسمی توران پشته<sup>۲</sup>

<sup>۱</sup>دانشگاه فردوسی مشهد، mbayani@um.ac.ir

<sup>۲</sup>دانشگاه فردوسی مشهد، ghasemiamir9@gmail.com

### چکیده

پیشرفت‌ها در علم میکروالکترونیک و نانوتکنولوژی، علاقه‌ای شگرف به مطالعه در رژیم‌های غیرفوریه‌ای در انتقال حرارت را بوجود آورده است. چرا که، در مواردی نظیر مدت زمان به شدت کوتاه، محیط مادی بسیار کوچک، گرادیان دمایی بسیار بالا و دماهای نزدیک صفر مطلق، تئوری مرسوم مبنی بر تعادل محلی (قانون فوریه) کاربردی ندارد. کاملترین مدل انتقال حرارت غیرفوریه‌ای، مدل ماکروسکوپی تاخیر فاز دوگانه (DPL) است که پاسخ‌های فیزیکی مطلوبی را به دست می‌آورد. روش عددی زمان-مکان المان بقاء و المان حل (CESE)، بطور هم‌زمان دما و شار حرارتی را در مدل DPL به دست می‌آورد؛ در حالی که مدل‌های عددی دیگر معادلات را به صورت مجزا حل می‌کنند. بنابراین، روش فوق نسبت به دیگر روش‌ها دقیق‌تر بوده و زمان حل را کوتاه‌تر می‌کند. در این مطالعه به بررسی توزیع حرارت ناشی از لیزر پالس کوتاه در فیلم‌های نازک فلزی با استفاده از روش عددی CESE پرداخته شده است. مقایسه نتایج با نتایج تحلیلی موجود، صحت این روش عددی را تایید می‌کند.

کلمات کلیدی: مدل تاخیر فاز دوگانه (DPL)، روش عددی المان بقاء و المان حل (CESE)، لیزر پالس کوتاه، فیلم نازک فلزی، هدایت غیرفوریه

## کاربرد روش CESE در انتقال حرارت مدل غیرفوری‌های تاخیر فاز دوگانه در فیلم نازک فلزی

محمد باقر آسانی<sup>۱</sup>، امیر قاسمی توران پشته<sup>۲</sup>

<sup>۱</sup> استادیار، دانشگاه فردوسی مشهد، دانشکده فنی و مهندسی، mbayani@um.ac.ir  
<sup>۲</sup> دانشجوی کارشناسی ارشد، دانشگاه فردوسی مشهد، دانشکده فنی و مهندسی، ghasemiamir9@gmail.com

$$q + \tau_q \frac{\partial q}{\partial t} = -k \left[ \frac{\partial T}{\partial x} + \tau_T \frac{\partial^2 T}{\partial t \partial x} \right] \quad (3)$$

معادله بقای انرژی با فرض خواص حرارتی ثابت و وجود منبع حرارتی به صورت زیر بیان می‌شود:

$$\rho c_p \frac{\partial T(x,t)}{\partial t} + \frac{\partial q(x,t)}{\partial x} = S(x,t) \quad (4)$$

مسائل بسیاری در انتقال حرارت غیرفوری‌های با استفاده از مدل تاخیر فاز دوگانه با روش‌های تحلیلی یا عددی حل شده است. رامادان<sup>۳</sup> و همکارانش [۲] گرمایش لیزری فلزات را با استفاده از مدل تاخیر فاز دوگانه بررسی نموده‌اند. چپو<sup>۴</sup> [۳] به صورت تحلیلی توزیع دما ناشی از اعمال لیزر پالس کوتاه در فیلم نازک طلا را به دست آورده است. نتایج آزمایشگاهی اعمال لیزر روی فیلم طلا به ضخامت ۰/۱ میکرومتر [۴] و [۵] نیز موجود می‌باشد. روش‌های عددی که برای حل معادله DPL وجود دارند، عموماً با ترکیب معادلات (۳) و (۴) و حذف  $T$  و یا  $q$  در بین آنها و در نتیجه به دست آوردن یک معادله بر حسب  $q$  و یا  $T$  استوار است، ولی در روش عددی CESE<sup>۵</sup>، هر دو معادله فوق بدون ترکیب با یکدیگر، به صورت هم‌زمان حل می‌شوند. روش CESE توسط آقای چنگ<sup>۶</sup> [۶] در سال ۱۹۹۵ به عنوان روشی در جهت حل معادلات ناویراستوکس و اولر در بسیاری از مسائل دینامیک سیالات محاسباتی و مسائل صوتی-هوائی [۷]، توسعه یافته است. چنگ و همکارانش [۸] روش CESE را در موج‌های ضربه‌ای در مجراهای لوله‌ای به کار بردند. زنگ<sup>۷</sup> و همکارانش [۹] این روش را در حل دوبعدی و سه‌بعدی معادله اولر، با استفاده از مش‌بندی‌های چهارضلعی و شش‌ضلعی استفاده نمودند. چو و یانگ<sup>۸</sup> [۱۰] از روش CESE در مطالعه انتقال حرارت غیرفوری‌های مدل DPL بدون منبع حرارتی استفاده کرده‌اند.

اصل برتری روش CESE، اطمینان داشتن از بقای شار محلی و کلی در بستر زمان-مکان می‌باشد. در این روش هم متغیرهای مستقل جریان و هم مشتقات آنها مجهول بوده و بطور هم‌زمان حل می‌شوند. در روش CESE نیازی به تنظیم نمودن پراکنندگی‌های مصنوعی جهت سازگار نمودن خاصیت‌های حل محلی نیست و بنابراین از یک حل دقیق یکنواخت می‌توان خاطر جمع بود. این

### چکیده

پیشرفت‌ها در علم میکروالکترونیک و نانوتکنولوژی، علاقه‌ای شگرف به مطالعه در رژیم‌های غیرفوری‌های در انتقال حرارت را بوجود آورده است. چرا که، در مواردی نظیر مدت زمان به شدت کوتاه، محیط مادی بسیار کوچک، گرادیان دمایی بسیار بالا و دماهای نزدیک صفر مطلق، تئوری مرسوم مبنی بر تعادل محلی (قانون فوریه) کاربردی ندارد. کاملترین مدل انتقال حرارت غیرفوری‌های، مدل ماکروسکوپی تاخیر فاز دوگانه (DPL) است که پاسخ‌های فیزیکی مطلوبی را به دست می‌آورد. روش عددی زمان-مکان المان بقاء و المان حل (CESE)، بطور هم‌زمان دما و شار حرارتی را در مدل DPL به دست می‌آورد؛ در حالی که مدل‌های عددی دیگر معادلات را به صورت مجزا حل می‌کنند. بنابراین، روش فوق نسبت به دیگر روش‌ها دقیق‌تر بوده و زمان حل را کوتاه‌تر می‌کند. در این مطالعه به بررسی توزیع حرارت ناشی از لیزر پالس کوتاه در فیلم‌های نازک فلزی با استفاده از روش عددی CESE پرداخته شده است. مقایسه نتایج با نتایج تحلیلی موجود، صحت این روش عددی را تایید می‌کند.

### واژه‌های کلیدی

مدل تاخیر فاز دوگانه (DPL)، روش عددی المان بقاء و المان حل (CESE)، لیزر پالس کوتاه، فیلم نازک فلزی، هدایت غیرفوریه.

### مقدمه

قانون کلاسیک فوریه بیانگر این است که شار حرارتی در هر زمان و هر نقطه‌ای از محیط مادی، مستقیماً با گرادیان دما متناسب است:

$$q(x,t) = -kVT(x,t) \quad (1)$$

به منظور در نظر گرفتن اثرات میکروسکوپی در انتقال حرارت غیرفوری‌های، مدل DPL<sup>۱</sup> توسط زو<sup>۱۱</sup> مطرح شد که دو تاخیر فاز را برای شار حرارتی و گرادیان دما معرفی می‌کند. بنابراین، رفتار تاخیری متناظر در ابعاد ماکرو به صورت زیر بیان می‌گردد:

$$q(x,t + \tau_q) = -kVT(x,t + \tau_T) \quad (2)$$

تاخیر فازهای  $\tau_q$  و  $\tau_T$  جزء ویژگی‌های ذاتی ماده هستند و مقادیری مثبت دارند. با بسط مرتبه اول سری تیلور معادله (۲) نسبت به متغیر  $t$  معادله زیر حاصل می‌گردد:

<sup>3</sup> Ramadan

<sup>4</sup> Chiu

<sup>5</sup> Conservation Element and Solution Element

<sup>6</sup> Chang

<sup>7</sup> Zhang

<sup>8</sup> Chou & Yang

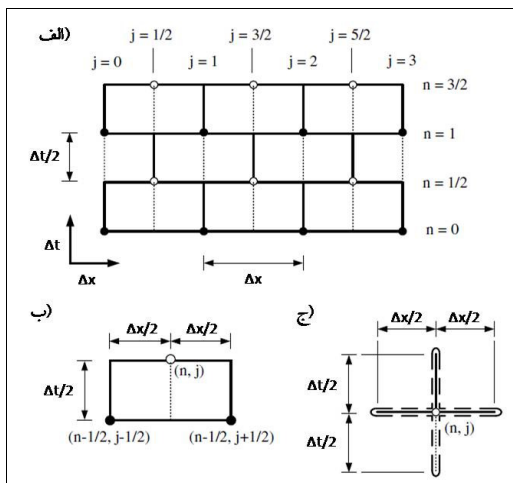
<sup>1</sup> Dual Phase Lag

<sup>2</sup> Tzou

$$F_m^*(x, t; j, n) = (F_m)_j^n + (x - x_j)(F_{mx})_j^n + (t - t^n)(F_{mt})_j^n$$

$$\bar{h}_m^*(x, t; j, n)$$

$$= (U_m^*(x, t; j, n), F_m^*(x, t; j, n))$$



شکل ۱: توصیف شماتیک مش‌های مکان-زمان و المان‌ها در روش CESE. (الف) مش‌بندی مکان-زمان جایجا شده، (ب) المان بقا (CE) در نقطه  $(n, j)$ ، (ج) المان بقا (SE) در نقطه  $(n, j)$ .

فرض می‌شود که توزیع مجدد  $P_{m1}$  اثر مهمی روی مقادیر  $q$  و  $S(x, t)$  که از فرایند میانگین در تعدادی المان بقای مجاور هم به دست می‌آید، به شرط اینکه انتگرال حجمی  $P_{m1}$  روی CE ثابت بماند، نخواهد داشت. در نتیجه، پیشنهاد می‌شود که منبع حرارتی داخلی طوری بازتوزیع گردد که گویی هیچ منبعی در هر SE وجود ندارد. بنابراین، می‌توان نوشت:

$$(U_{mt})_j^n = -(F_{mx})_j^n \quad (8)$$

با توجه به آن که  $F_{m1}$  تابعی از  $U_m$  می‌باشد (رابطه (۵))، بنابراین  $F_{m1}$  تابعی از  $U_m$  و  $U_{mx}$  خواهد بود. در نتیجه معادله (۸) نشان می‌دهد که  $U_{m1}$  نیز تابعی از  $U_m$  و  $U_{mx}$  است. پس، می‌توان اذعان داشت که تنها متغیرهای مستقل که در طرح CE/SE نیاز به حل دارند به ترتیب عبارت است از:  $(U_m)_j^n$  و  $(U_{mx})_j^n$ .

معادله جداسازی شده (۶) را می‌توان به صورت زیر نوشت:

$$\oint_{S(CE(j,n))} \bar{h}_m \cdot d\vec{s} = (P_m)_j^n \times \frac{\Delta x \Delta t}{2}, \quad m = 1, 2 \quad (9)$$

با ترکیب روابط (۷)-(۹) می‌توان نشان داد که:

$$\Delta x (U_m)_j^n - (P_m)_j^n \frac{\Delta x \Delta t}{2} = \frac{\Delta x}{2} \left[ (U_m)_{j-\frac{1}{2}}^{n-\frac{1}{2}} + \frac{\Delta x}{4} (U_{mx})_{j-\frac{1}{2}}^{n-\frac{1}{2}} \right] + \frac{\Delta t}{2} \left[ (F_m)_{j-\frac{1}{2}}^{n-\frac{1}{2}} + \frac{\Delta t}{4} (F_{mt})_{j-\frac{1}{2}}^{n-\frac{1}{2}} \right] + \frac{\Delta x}{2} \left[ (U_m)_{j+\frac{1}{2}}^{n-\frac{1}{2}} - \frac{\Delta x}{4} (U_{mx})_{j+\frac{1}{2}}^{n-\frac{1}{2}} \right] \quad (10)$$

ویژگی باعث می‌شود که روش فوق یک حل‌کننده ایده‌آل برای مسائل با ماهیت موجی و پدیده‌های همراه با عدم پیوستگی یا گرادین‌های شدید نظیر سیستم‌های احتراق، موج‌های ضربه‌ای و غیره باشد. بنابراین در مطالعه حاضر از روش CESE در شبیه‌سازی موج حرارتی DPL در یک محیط محدود استفاده شده که منطبق با شرایط هدایت حرارتی غیرفوری‌ای است.

### توصیف روش CE/SE:

روش‌های عددی قدیمی معمولاً معادله هدایت غیرفوری‌ای DPL بر حسب دما را با استفاده از طرح‌های تفاضل محدود یا المان محدود حل می‌کنند. اما در طرح CE/SE، حل دو معادله کوپل بقای انرژی و معادله مدل DPL به طور هم‌زمان صورت پذیرفته که در آنها دما و شارحرارتی هر دو بعنوان مجهول تلقی می‌شوند. به منظور ساده سازی، روابط (۳) و (۴) را می‌توان به صورت ماتریسی زیر بازنویسی نمود:

$$\frac{\partial U_m}{\partial t} + \frac{\partial F_m}{\partial x} = P_m, \quad m = 1, 2 \quad (5)$$

$$F_m = \begin{bmatrix} \frac{k}{\tau_q} (T + \tau_T \frac{\partial T}{\partial x}) \\ \frac{1}{\rho C_p} q \end{bmatrix}, \quad U_m = \begin{bmatrix} q \\ T \end{bmatrix}$$

که در آن،

$$P_m = \begin{bmatrix} -\frac{1}{\sigma C_p} q \\ \frac{1}{\sigma C_p} S(x, t) \end{bmatrix}$$

است.

$x_1 = x$  و  $x_2 = t$  مولفه‌های مختصاتی فضای اقلیدسی دو بعدی  $E_2$  هستند. با بکار بردن قضیه دیورژانس گوس در  $E_2$ ، حالت دیفرانسیلی رابطه (۵) را می‌توان به صورت بقاء انتگرالی زیر تبدیل نمود:

$$\oint_{S(V)} \bar{h}_m \cdot d\vec{s} = \int_V (P_m) dv, \quad m = 1, 2 \quad (6)$$

که در آن  $\bar{h}_m = (F_m, U_m)$  و  $S(V)$  مرز محدوده مکان-زمانی اختیاری  $V$ ، در فضای اقلیدسی  $E_2$  می‌باشد. طرف راست رابطه (۶) بیانگر انتگرال حجمی  $P_m$  در محدوده  $V$  است.

فضای اقلیدسی  $E_2$  به مجموعه‌ای از محدوده‌های مستطیلی مجزا که بعنوان المان‌های بقاء (CES) شناخته می‌شوند، تقسیم می‌گردد (شکل ۱). شکل ۱-ب المان بقاء مربوط به نقطه  $(j, n)$  را نشان می‌دهد و با  $CE(j, n)$  نمایش داده می‌شود. با توجه به شکل ۱-ج مشاهده می‌گردد مرزهای  $CE(j, n)$  از اتحاد سه المان حل (SE) مربوط به نقاط  $(j, n)$ ،  $(j - \frac{1}{2}, n - \frac{1}{2})$  و  $(j + \frac{1}{2}, n - \frac{1}{2})$  به دست می‌آید.

برای هر  $(x, t) \in SE(j, n)$  مقادیر  $F_m$  و  $U_m$  به ترتیب با مقادیر  $F_m^*$  و  $U_m^*$  که با استفاده از بسط مرتبه اول تیلور به دست می‌آیند، تقریب زده می‌شوند:

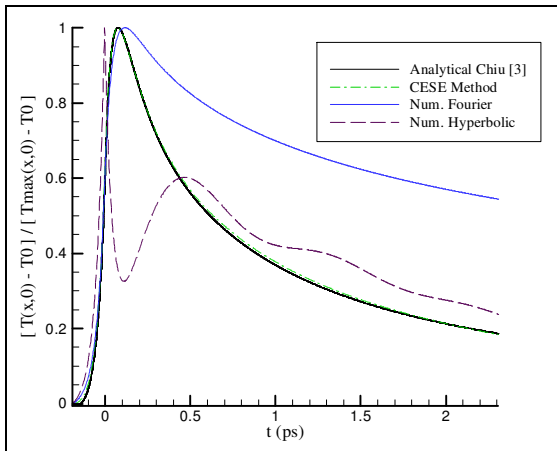
$$U_m^*(x, t; j, n) = (U_m)_j^n + (x - x_j)(U_{mx})_j^n + (t - t^n)(U_{mt})_j^n \quad (7)$$

استفاده از روش عددی مکان- زمانی المان بقاء و المان حل، مورد بررسی قرار گرفته است. فیلم فلزی از جنس طلا می باشد که مشخصات حرارتی و ثابت های زمانی گرادیان دما و شار حرارتی مربوط به آن در جدول ۲ آورده شده است [۱]. دمای اولیه طلا برابر با ۳۰۰ درجه کلوین و سطوح ابتدایی و انتهایی آن عایق می باشند.

جدول ۲: مشخصات حرارتی فلز طلا

$\tau_T$ (ps)	$\tau_q$ (ps)	$\alpha \left( \frac{m^2}{s} \right) \times 10^4$	$k \left( \frac{W}{m \cdot K} \right)$	$L$ (nm)
۹۰	۸/۵	۱/۲	۳۱۵	۱۰۰

به منظور ارزیابی روش عددی CESE نتایج به دست آمده با نتایج تحلیلی چو [۳] مقایسه شده است (شکل ۲). به دلیل اهمیت فوق العاده نقطه  $x=0$ ، تغییرات دمای بدون بعد بر حسب زمان بر روی سطح جلویی ورق که در معرض برخورد پرتوی لیزر قرار دارد، در شکل ۲ نشان داده شده است. مقایسه نتایج موجود با نتایج آزمایشگاهی [۴] و [۵]، درستی مدل DPL در گرمایش لیزری فیلم- های نازک فلزی را تایید می نماید. نتایج عددی مربوط به مدل های ماکروسکوپی دیگر یعنی مدل کلاسیک فوریه و مدل موج حرارتی نیز در این شکل جهت مقایسه با نتایج مدل DPL رسم شده است که می توان به ضعف مدل های دیگر در پیش بینی دما در این حالت پی برد. تا رسیدن به مقدار ماکزیمم دما تقریباً نمودارها تفاوت عمده ای با هم ندارند. ولی با گذشت زمان مدل فوریه بالاتر از ۲ مدل دیگر قرار می گیرد. نتایج حاصل از روش عددی CESE کاملاً منطبق بر نتایج تحلیلی موجود می باشد. با توجه شکل مشاهده می شود که دمای سطح طلا در زمان صفر به حداکثر مقدار خود نمی رسد بلکه در لحظات کوتاهی بعد از اعمال لیزر ( $t=0/26$ ) پیکوتانیه به مقدار ماکزیمم خود می رسد و پس از آن، با گذشت زمان دمای سطح با شیب تندی کاهش می یابد.



شکل ۲: تغییرات دمای بدون بعد سطح نسبت به زمان

توزیع دما در لایه نازک فلزی در عملیات حرارتی لیزری از مواردی است که توجه ویژه ای به آن می شود. به این منظور توزیع دما در لایه طلا در ۳ زمان مختلف، در شکل ۳ آورده شده است. با توجه به شکل مشاهده می شود، در زمان های ابتدایی، اختلاف دمای دو

$$-\frac{\Delta t}{2} \left[ (F_m)_{j+\frac{1}{2}}^{n-\frac{1}{2}} + \frac{\Delta t}{4} (F_{m,t})_{j+\frac{1}{2}}^{n-\frac{1}{2}} \right], m = 1, 2$$

با توجه به شکل ۱-ب، عبارت اول از سمت چپ رابطه (۱۰)، برابر شار  $\bar{h}_m$  از سطح بالایی CE(j,n) است. در حالی که عبارت- های اول و دوم از سمت راست، شار  $\bar{h}_m$  در سطوح چپ و پایین CE(j,n) و مربوط به نقطه  $(j - \frac{1}{2}, n - \frac{1}{2})$  می باشند. در پایان، عبارت های سوم و چهارم به ترتیب شارهای عبوری از سطوح پایین و راست CE(j,n) هستند که مربوط به  $(j + \frac{1}{2}, n - \frac{1}{2})$  می- شوند.

برای محاسبه  $(U_{mx})_j^n$  می توان از روابط زیر بهره برد:

$$(U_{mx})_j^n = \frac{(U_{mx+})_j^n + (U_{mx-})_j^n}{2} \quad (11)$$

که در آن مقادیر  $(U_{mx\pm})_j^n$  از رابطه زیر به دست می آیند:

$$(U_{mx\pm})_j^n = \pm \frac{(U'_m)_{j\pm\frac{1}{2}}^n - (U_m)_j^n}{\Delta x/2} \quad (12)$$

در اینجا  $(U'_m)_j^n$  در گام زمانی n را می توان بر حسب مقادیر

موجود  $(U_m)_j^{n-\frac{1}{2}}$  بیان کرد و بنابراین رابطه زیر به دست می آید:

$$(U'_m)_{j\pm\frac{1}{2}}^n = (U_m)_{j\pm\frac{1}{2}}^{n-\frac{1}{2}} + \frac{\Delta t}{2} (U_{m,t})_{j\pm\frac{1}{2}}^{n-\frac{1}{2}} \quad (13)$$

روابط (۵)-(۱۳)، کاربرد طرح CE/SE در مدلسازی معادلات کوپل شده DPL و معادله انرژی را توصیف می کنند.

اثر لیزر به صورت یک منبع حرارتی در حل عددی وارد می شود. منبع حرارتی حجمی  $S(x, t)$  مربوط به لیزر پالس کوتاه در معادله (۵) به صورت توزیع گوس مرتبه دوم در نظر گرفته شده است [۱]. مقایسه نتایج حل تحلیلی زو با نتایج آزمایشگاهی موجود [۵ و ۱۱]، توزیع گوسی فوق را تایید می کند. بنابراین، منبع حرارتی استفاده شده در این حل عددی به صورت زیر قابل بازنویسی است:

$$S(x, t) = \frac{0.94J(1-R)}{t_p \delta} e^{-\frac{x}{\delta}} \frac{1.692|t-2t_p|}{t_p} \quad (14)$$

که در آن J چگالی لیزر،  $\delta$  عمق نفوذ لیزر، R ضریب انعکاس پذیری محیط مادی و  $t_p$  پهنای زمانی لیزر در شدت نیم ماکزیمم (FWHM) اعمال پالس لیزری می باشد. مشخصات مربوط به لیزر در جدول ۱ آورده شده است.

جدول ۱: مشخصات لیزر

R	$\delta$ (nm)	$J \left( \frac{J}{m^2} \right)$	$t_p$ (fs)
۰/۹۳	۱۵/۳	۱۳/۴	۹۶

## نتایج

در این مطالعه توزیع دمای یک بعدی گذرا، ناشی از لیزر پالس کوتاه در فیلم های نازک فلزی با استفاده از مدل تاخیر فاز دوگانه، با

<sup>9</sup> Full width at half maximum  
<sup>10</sup> Femto seconds ( $10^{-15}$  s)

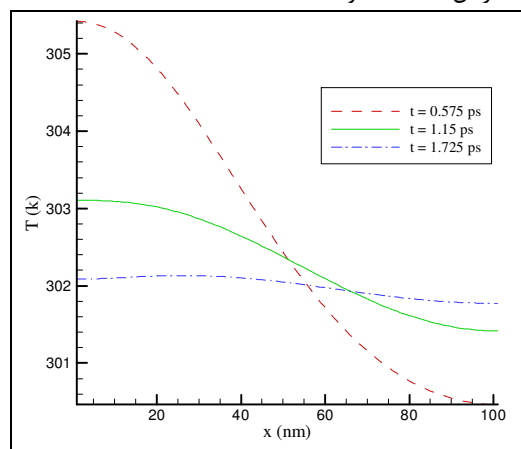
$t = 0.575$  پیکوثانیه این اختلاف به حدود  $5/5$  درجه می‌رسد.

پیشگویی‌های درست و مطابق با نتایج آزمایشگاهی در مورد رفتار فیلم فلزی، محققین را در رسیدن به روش‌های مطمئن یاری می‌کند. در این مطالعه نشان داده شد که مدل‌های سنتی فوریه و موج حرارتی در پیش‌بینی توزیع دما عاجز هستند ولی مدل تاخیر فاز دوگانه اثرات میکروسکوپی را در نظر می‌گیرد و نتایج قابل قبول ارائه می‌دهد. دو فاکتور ماکزیمم دما و زمان رخ دادن آن، در عملیات‌های لیزری فوق‌العاده مهم می‌باشند. در این مطالعه نشان داده شد که محل ماکزیمم دما در نقطه اعمال لیزر یعنی  $x=0$  است ولی در زمان صفر نمی‌باشد.

### مراجع

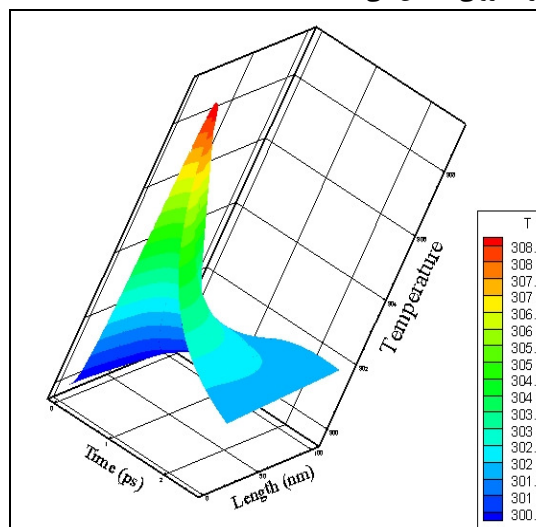
- [1] Tzou, D. Y., 1997. *Macro-to Micro scale Heat Transfer: The Lagging Behavior*. Taylor & Francis, Washington D.C.
- [2] Ramadan K., Tyfour W. R. and Al-Nimr M. A., 2009. "On the analysis of short-pulse laser heating of metals using the dual phase lag heat conduction". *Journal of Heat Transfer*, 131, pp. 291-301.
- [3] Chiu, K. S., 1999. "Temperature dependent properties and microvoid in thermal lagging". PhD thesis, Dissertation, University of Missouri-Columbia, Columbia, Missouri.
- [4] Brorson, S. D., Fujimoto, J. G., and Ippen, E. P., 1987. "Femto-second electron heat transport dynamics in thin gold film". *Phys. Rev. Lett.*, 59, pp. 1962-1965.
- [5] Qiu, T. Q., Tien, C. L., 1992. "Short-pulse laser heating on metals". *International Journal of Heat and Mass Transfer*, 35, pp. 719-726.
- [6] Chang S. C., 1995. "The method of space-time conservation element and solution element - A new approach for solving the Navier-Stokes and Euler equations". *J. Comput. Phys.*, 119, pp. 295-324.
- [7] Loh, C. Y., Hultgren L. S. and Chang S.C., 2001. "Wave computation in compressible flow using space-time conservation element and solution element method". *AIAA J.*, 39, pp. 794-801.
- [8] Chow, C. Y., Chang, S. C., 1994. "Application of the CESE method to shock tube problems". NASA TM-106806.
- [9] Zhang Z. C., John Yu S. T. and Chang S. C., 2002. "A space-time conservation element and solution element method for solving the two- and three-dimension unsteady euler equations using quadrilateral and hexahedral meshes". *J. Comput. Phys.*, 175, pp. 168-199.
- [10] Chou Y., Yang R. J., 2008. "Application of CESE method to simulate non-Fourier heat conduction in finite medium with pulse surface heating". *Int. J. Heat Mass Transf.*, 51, pp. 3525-3534.
- [11] Qiu, T. Q., Tien, C. L., 1993. "Heat transfer mechanisms during short-pulse laser
- [12] heating of metals". *ASME Journal of Heat Transfer*, 115, pp. 835-841.

طرف لایه طلا بیشتر است و با توجه به لیزر استفاده شده در زمان اما با گذشت زمان، اختلاف فوق کاسته شده به طوریکه در زمان  $1/527$  پیکوثانیه، این اختلاف ناچیز گشته و به کمتر از  $0.2$  درجه سانتیگراد می‌رسد. همچنین با توجه به این شکل می‌توان روند افزایشی دمای سطح انتهایی و روند کاهش دمای سطح ابتدایی را با گذشت زمان مشاهده نمود.



شکل ۳: توزیع دمای ناشی از لیزر در فیلم طلا در ۳ زمان مختلف

توزیع کلی دما در زمان‌های مختلف و در تمامی مکان‌های فیلم فلزی طلا به صورت خطوط دما ثابت در شکل ۴ ترسیم شده است. محل ماکزیمم دما همانطور که در شکل دیده می‌شود، در نقطه  $x=0$  است ولی در زمان صفر نیست. توزیع دما در  $x=L/2$  با گذشت زمان روندی صعودی دارد و بعد از رسیدن به مقدار ماکزیمم خود به صورت نزولی کاهش می‌یابد.



شکل ۴: خطوط دما در زمان‌ها و مکان‌های مختلف.

### نتیجه‌گیری

برای افزایش کارایی کاربرد لیزر در علوم میکروالکترونیک و نانو-تکنولوژی، مطالعه توزیع دما ناشی از اعمال لیزرهای پالس کوتاه و تحریکات دمایی بسیار حائز اهمیت است.

